

**令和5(2023)年度キンメダイ太平洋系群の資源評価  
キンメダイ CPUE の標準化(静岡県・御前崎地区)**

水産研究・教育機構 水産資源研究所 水産資源研究センター  
川内陽平、竹茂愛吾、亘 真吾、竹村紫苑、青木一弘、半沢祐大、小柳津瞳

### 概要

|                 |   |
|-----------------|---|
| データ             | キンメダイの漁獲がある静岡県御前崎地区の樽流し漁業の月別漁獲量と水揚回数(日・隻)データ。操業位置情報は含まれない。漁場における水温、流向、流速はFRA-ROMS IIから取得、黒潮流路情報は海上保安庁の海洋速報から抽出  |
| 対象              | 1日1隻あたり漁獲量(kg/日・隻)  |
| データの利用可能な期間     | 2002~2022年  |
| 標準化に使用した期間      | 2002~2022年  |
| データの抽出          | 全レコードを使用  |
| 使用した統計ソフト・パッケージ | R ver. 4.3.0にて、stats-ver. 4.3.0(GLM計算)、MuMin-ver. 1.43.17(モデル選択)、readxl-ver. 1.4.2(Excelファイル読み込み)、tidyverse-ver. 2.0.0(モデル診断結果を含む作図およびデータ処理)、GGally-ver. 2.1.2(作図)、gridExtra-ver. 2.3(作図)、lubridate-ver. 1.9.2(時系列データの取り扱い)、ggeffects-ver. 1.2.2(説明変数に対するlsmean計算)を使用 |
| 統計モデル           | 一般化線形モデル(誤差分布:対数正規分布)   |
| フルモデルの説明変数      | 年、季節、8方位流向(カテゴリ・固定効果)<br>水温、流速、地先における黒潮北縁の緯度、経度間の黒潮北縁の緯度差(連続・1次固定効果)  |
| 最終モデルの選択方法      | AIC総当たり法のうち、最小AIC+2の範囲のモデルについて、説明変数の数が最小かつ環境・漁業面での説明力が高いモデルを選択。ただし、FRA-ROMS IIから取得した同一の説明変数において、複数深度層が選択されるモデルは予め総当たり法における計算から除外。   |
| 選択された説明変数       | 年、200m層水温、地先における黒潮北縁の緯度(東経138度)、経度間の黒潮北縁の緯度差(東経138度-139度)   |
| 年トレンドの抽出方法      | 年固定効果の係数を抽出   |
| 信頼区間の計算方法       | 重複を許したデータのブートストラップサンプリング、ベストモデルの更新、年トレンドの抽出を1,000回繰り返した。  |
| 標準化の結果          | 標準化CPUEは2017年まで横ばいで推移したが、2018年以降急激に増加した。2022年は前年よりわずかに減少したものの、解析期間中で2番目に高い値となっている。標準化CPUEとノミナルCPUEの傾向に大きな違いはみられなかったが、2002~2004年、2006年、2010~2012年、2014年、2019年は標準化CPUEのほうが高く、それ以外の年の多くはノミナルCPUEのほうが高かった。  |

## 1. 背景

漁業から得られる情報は、一般に調査船調査と比較して資源の分布を時空間的に広く網羅していることから、資源状態の評価に利用されてきた。一方、漁業から得られる単位努力量当たり漁獲量（以下、CPUE）には努力量の時空間的な偏りがあることに加え、海洋環境が漁具の挙動等に影響を与え、漁獲効率に影響を与える可能性もある。資源状態を正確にとらえるためには、統計的手法によりバイアスを取り除く CPUE の標準化が重要である。

キンメダイ太平洋系群では令和 3 年度資源評価において、より精度の高いチューニング指數を作成すべく、一般化線形モデル（GLM）により、千葉県、東京都、神奈川県、静岡県の各地区における CPUE について標準化を試みた。検討した標準化モデルでは、一都三県のデータをプールした上で、年、季節、地区に加え、海上保安庁海洋情報部が提供している海洋速報に掲載されている主要地点から黒潮流軸までの距離をカテゴリカル変数（近：0～50海里、中：50～100海里、遠：100海里以遠）として導入した（亘・半沢 2022）。黒潮流軸までの距離を考慮した理由は、黒潮やそれに関連する潮流が漁獲効率に影響し、CPUE 低下を招くといった現場で懸念されている影響を取り除くことがある。しかし、検討したモデルでは黒潮接近による影響を十分に取り除けていないこと、地区ごとに使用漁具の制限等の操業形態や漁獲している資源の年齢構造に違いがあること、さらにはモデル診断の結果も良くなかったことから、資源計算への導入には至らなかった。令和 4 年度は、これらの経緯を踏まえ、地区ごとに別々の CPUE 標準化モデルを構築することとし、海洋環境に関する説明変数については、スケール（漁場、分布域全体）に合わせて複数の変数を導入することを試みた（亘ほか 2023）。その結果、一都三県の 7 地区のうち、6 地区における標準化 CPUE は、環境要因の影響がより考慮されたと判断されたこと、モデル診断結果も良好であったことから、VPA のチューニング指數として導入するに至った（八丈島地区は引き続き標準化 CPUE を検討中）。

令和 4 年度資源評価で今後検討すべき課題の 1 つとして整理されている「CPUE 標準化未実施の海域への拡大」に対応するため、今年度は新たに静岡県の御前崎地区におけるデータを用いた標準化 CPUE の検討を行った。

## 2. 方法

### 2.1 データ

解析にはキンメダイの漁獲がある静岡県御前崎地区の樽流し漁業の月別操業記録を用いた。データには月別漁獲量と水揚回数（日・隻）が含まれ、操業位置情報は含まれない。標準化の期間は、2002～2022 年であり、全レコードを解析に使用した。

### 2.2 フルモデル

作成した標準化モデルは誤差分布を対数正規分布とした GLM（log-normal GLM）である。

上述のとおり、フルモデルにはスケールの異なる海洋環境変数を導入した。分布域全体に影響を及ぼす要因として、昨年度から引き続き黒潮流軸の位置情報を用いた。黒潮の位置情報は、海上保安庁の海洋速報 (<https://www1.kaiho.mlit.go.jp/KANKYO/KAIYO/qboc/>) から取得し、黒潮北縁（流軸から 13 海里）の緯度を、東経 138、139、140、141 度で抽出した (Lat\_138、Lat\_139、Lat\_140、Lat\_141)。御前崎地区では、地先での黒潮位置を考慮するため、東経 138 度における黒潮北縁緯度 (Lat\_138) を説明変数として用いた。また、経度間の黒潮北縁の緯度差（すなわち黒潮の傾き。東経 138 度-東経 139 度、東経 139 度-東経 140 度、東経 140 度-東経 141 度の 3 つを計算。それぞれ Lat138\_139、Lat139\_140、Lat140\_141）を「黒潮入込」の指標として導入することで、大蛇行に代表されるような黒潮の流型が CPUE に与える影響を検討した。以上の黒潮に関連する変数については、1 次の連続変数としてモデルに組み込んだ。

また、各漁場におけるローカルな海洋環境の影響を考慮するため、FRA-ROMS II (Kuroda et al., 2017, データアクセス日：2023 年 3 月 31 日) における深度帯別 (0 m 層、100 m 層、200 m 層、400 m 層、底層) の水温 (Temperature)、流向 (Direction)、流速 (Speed) の再解析値を使用することとした。漁場は、緯度経度 0.1 度グリッド単位で、地区ごとの代表的な漁場範囲を資源評価参画機関と協議の上で決定し、その範囲で切り出した再解析値をその漁場を代表する海洋環境の値として用いた。その結果、御前崎地区では図 1 の 51～54 番のグリッドが解析に使用する漁場として選択された。FRA-ROMS II 再解析値は、グリッドごとに日別に切り出し、月別に平均して用いた。水温、流速については平均したものを 1 次の連続変数として、流向については、平均した後に 8 方位のカテゴリカル変数 (Direrfct) に変換して用いた。流向・流速については、それぞれの日別データを用いて 2 次元ベクトルに変換し、それを平均し、再び流向・流速に変換するというプロセスを実行した。

なお、上記において、連続変数を 1 次の効果として扱った理由は、環境変数とノミナル CPUE との関係をプロットしたときに、非線形性が確認されなかったこと (図 2)、解釈が簡便であること、が挙げられる。

年効果 (Year)、季節効果 (Quarter: 12 ヶ月を 1～3 月、4～6 月、7～9 月、10～12 月に 4 等分) については、それぞれカテゴリカル効果として扱い、各変数を固定効果として導入したフルモデルを構築した。フルモデルは以下のとおりである。

$$\begin{aligned} \log(\text{CPUE}) \sim & \text{Year} + \text{Quarter} + \\ & \text{Temperature}_0 + \text{Temperature}_100 + \text{Temperature}_200 + \text{Temperature}_400 + \text{Temperature}_\text{Bottom} \\ & + \\ & \text{Speed}_0 + \text{Speed}_100 + \text{Speed}_200 + \text{Speed}_400 + \text{Speed}_\text{Bottom} + \\ & \text{Direrfct}_0 + \text{Direrfct}_100 + \text{Direrfct}_200 + \text{Direrfct}_400 + \text{Direrfct}_\text{Bottom} + \\ & \text{Lat}_138 + \end{aligned}$$

Lat138\_139 + Lat139\_140 + Lat140\_141

各海洋環境変数間の相関関係を図 3 に示す。なお、現在利用可能なデータは月別 CPUE であり、様々な変数間の交互作用を考慮すると、推定パラメータ数がデータ数を上回ってしまうこと、また解釈が煩雑になる恐れもあることから、本資源の標準化モデルでは主効果のみを考慮するモデルを導入する。今後、日別や操業別により詳細なデータを収集・整備していくことが望まれる。

### 2.3 モデル選択

ベストモデルは、上記のフルモデルについて、説明変数総当たりの赤池情報量規準 (AIC) によるモデル選択を実施したのち、最小 AIC+2 の範囲にあるモデルのうち、パラメータ自由度が最小のモデルを選択、さらに環境・漁業面での説明力を考慮して決定した。ただし、一段階目の AIC による変数選択において、FRA-ROMS II から得られた特定の説明変数で、複数の深度層を含むモデル（例えば、0m 層水温と 100m 層水温を同時に含むもの）は、解釈の簡便さや過適合の影響を加味して予めモデル候補から除外し、1 層のみを含むモデル候補の中からベストモデルを選択することとした。

### 2.4 モデル診断

本資源の標準化モデルは log-normal GLM であることから、ベストモデルについて、QQ プロット、残差のヒストグラム、説明変数ごとの層別逸脱残差から、残差の正規性や等分散性を検証した。

### 2.5 年トレンドの抽出

ベストモデルから切片の値と年効果の係数を抽出し、解析期間初年の標準化 CPUE は切片の値、次年以降は切片に年効果の係数を足し合わせた値とした。

### 2.6 信頼区間の計算

重複を許してブートストラップサンプリングされたデータにより、上記で推定したベストモデルのパラメータを更新、年トレンドを計算する、というプロセスを 1,000 回繰り返し、各計算結果から 95% 信頼区間を推定した。

## 3. 結果と考察

### 3.1 今年度の解析結果

上記のモデル選択の基準に基づき、以下のモデルがベストモデルに選択された（表 1）。

$\log(\text{CPUE}) \sim \text{Year} + \text{Temperature}_\text{200} + \text{Lat}_\text{138} + \text{Lat138}_\text{139}$

御前崎地区では、AIC 総当りによるモデル選択の結果、FRA-ROMS IIによる複数層の同一説明変数が含まれるモデルを除いたモデル候補のうち、最小 AIC+2 の範囲に 32 モデルが該当した。そのうち、最もパラメータ自由度が小さいモデルをベストモデルに選択した。最小 AIC+2 の範囲の他のモデルをみると、ベストモデルの説明変数の他に、多くのモデルで東経 139 度以東における黒潮入込の指標や流速も含まれており、黒潮の影響や漁場内の流れ、水温に関する説明変数が選ばれやすい傾向にあった。ベストモデルで選択された各説明変数への CPUE の応答（図 4）からも、黒潮位置や入込の強弱、水温による CPUE の変化が検出された。

ベストモデルにおける QQ プロットをみると、逸脱残差とその期待値が大きく異ならず、残差の正規性に関しても大きな問題が見られなかった（図 5）。また、いずれのモデルについても変数階層ごとの逸脱残差に著しい偏りは見られなかった（図 6）。

ベストモデルにより推定した標準化 CPUE および各年・各月の漁獲量および網数から得たノミナル CPUE の変化を図 7 および表 2 に示す。標準化 CPUE は 2017 年まで横ばいで推移したが、2018 年以降急激に増加した。2022 年は前年よりわずかに減少したものの、解析期間中で 2 番目に高い値となっている。標準化 CPUE とノミナル CPUE の傾向に大きな違いはみられなかったが、2002～2004 年、2006 年、2010～2012 年、2014 年、2019 年は標準化 CPUE のほうが高く、それ以外の年の多くはノミナル CPUE のほうが高かった。

## 引用文献

- Kuroda, H., Setou, T., Kakehi, S., Ito, S., Taneda, T., Azumaya, T., Inagake, D., Hiroe, Y., Morinaga, K., Okazaki, M., Yokota, T., Okunishi, T., Aoki, K., Shimizu, Y., Hasegawa, D., Watanabe, T. (2017) Recent advances in Japanese fisheries science in the Kuroshio-Oyashio region through development of the FRA-ROMS ocean forecast system: Overview of the reproducibility of reanalysis products. Open Journal of Marine Science, 7, 62–90.
- 亘 真吾、川内陽平、青木一弘、竹村紫苑、竹茂愛吾、半沢祐大 (2023) 令和 4 (2023) 年度 キンメダイ太平洋系群の資源評価. FRA-SA2022-AC-37, 令和 4 年度我が国周辺水域の漁業資源評価, 水産庁・水産研究・教育機構, 東京, 50pp. [https://abchan.fra.go.jp/wpt/wp-content/uploads/2023/06/details\\_2022\\_37.pdf](https://abchan.fra.go.jp/wpt/wp-content/uploads/2023/06/details_2022_37.pdf)
- 亘 真吾・半沢祐大 (2022) 令和 3 (2021) 年度キンメダイ太平洋系群の資源評価. FRA-SA2021-RC02-2, 令和 3 年度我が国周辺水域の漁業資源評価, 水産庁・水産研究・教育機構, 東京, 47pp. [https://abchan.fra.go.jp/wpt/wp-content/uploads/2021/details\\_2021\\_37.pdf](https://abchan.fra.go.jp/wpt/wp-content/uploads/2021/details_2021_37.pdf)

表1. モデル選択結果 FRA-ROMS IIによる複数層の説明変数を含むモデルを除いたもの  
のうち、最小AIC+2の範囲のモデルを表示。黄色塗りつぶしがベストモデル。

| 切片    | 流向 |     |     |     |   | 黒潮北縁緯度 |         |         | 経度間の黒潮北縁の緯度差 |       |       |       | 流速  |   |      |      |      | 水温   |   |    |       |       | 季節     | 年     | df    | logLik | AIC | delta |
|-------|----|-----|-----|-----|---|--------|---------|---------|--------------|-------|-------|-------|-----|---|------|------|------|------|---|----|-------|-------|--------|-------|-------|--------|-----|-------|
|       | 0  | 100 | 200 | 400 | 底 | 東経138度 | 138-139 | 139-140 | 140-141      | 0     | 100   | 200   | 400 | 底 | 0    | 100  | 200  | 400  | 底 | 季節 | 年     | df    | logLik | AIC   | delta |        |     |       |
| 12.23 |    |     |     |     |   | -0.25  | 0.25    | 0.10    | 0.08         |       |       |       |     |   |      |      | 0.08 |      |   |    | +     | 27    | -73.1  | 200.1 | 0.0   |        |     |       |
| 8.86  |    |     |     |     |   | -0.16  | 0.17    |         |              |       |       |       |     |   |      |      | 0.09 |      |   |    | +     | 25    | -75.1  | 200.2 | 0.1   |        |     |       |
| 8.22  |    |     |     |     |   | -0.14  | 0.15    |         |              |       |       | -0.45 |     |   |      |      |      | 0.15 |   |    | +     | 26    | -74.2  | 200.4 | 0.3   |        |     |       |
| 10.20 |    |     |     |     |   | -0.19  | 0.19    | 0.06    |              |       |       |       |     |   |      |      | 0.08 |      |   | +  | 26    | -74.2 | 200.5  | 0.4   |       |        |     |       |
| 8.15  |    |     |     |     |   | -0.14  | 0.15    |         |              |       |       | -0.35 |     |   |      |      |      | 0.16 |   |    | +     | 26    | -74.3  | 200.7 | 0.5   |        |     |       |
| 8.26  |    |     |     |     |   | -0.14  | 0.16    |         |              |       |       | -0.35 |     |   |      |      | 0.09 |      |   | +  | 26    | -74.3 | 200.7  | 0.5   |       |        |     |       |
| 8.62  |    |     |     |     |   | -0.15  | 0.14    |         |              |       |       | -0.61 |     |   |      |      | 0.14 |      |   | +  | 26    | -74.4 | 200.7  | 0.6   |       |        |     |       |
| 9.02  |    |     |     |     |   | -0.16  | 0.16    |         |              |       |       |       |     |   |      |      | 0.13 |      |   | +  | 25    | -75.4 | 200.8  | 0.6   |       |        |     |       |
| 8.55  |    |     |     |     |   | -0.15  | 0.16    |         |              |       |       | -0.51 |     |   |      |      | 0.09 |      |   | +  | 26    | -74.4 | 200.8  | 0.6   |       |        |     |       |
| 8.17  |    |     |     |     |   | -0.14  | 0.16    |         |              |       | -0.28 |       |     |   |      | 0.10 |      |      | + | 26 | -74.4 | 200.8 | 0.6    |       |       |        |     |       |
| 11.57 |    |     |     |     |   | -0.24  | 0.24    | 0.10    | 0.07         |       | -0.33 |       |     |   |      | 0.09 |      |      | + | 28 | -72.4 | 200.8 | 0.6    |       |       |        |     |       |
| 9.95  |    |     |     |     |   | -0.19  | 0.18    | 0.06    |              |       |       | -0.55 |     |   |      |      | 0.08 |      |   | +  | 27    | -73.4 | 200.8  | 0.7   |       |        |     |       |
| 11.50 |    |     |     |     |   | -0.23  | 0.24    | 0.10    | 0.07         | -0.27 |       |       |     |   |      | 0.09 |      |      | + | 28 | -72.4 | 200.8 | 0.7    |       |       |        |     |       |
| 11.84 |    |     |     |     |   | -0.24  | 0.23    | 0.10    | 0.07         |       |       | -0.48 |     |   |      |      | 0.09 |      |   | +  | 28    | -72.4 | 200.8  | 0.7   |       |        |     |       |
| 9.62  |    |     |     |     |   | -0.18  | 0.19    | 0.06    |              |       | -0.37 |       |     |   |      | 0.09 |      |      | + | 27 | -73.4 | 200.9 | 0.7    |       |       |        |     |       |
| 9.53  |    |     |     |     |   | -0.18  | 0.19    | 0.06    |              | -0.29 |       |       |     |   |      | 0.09 |      |      | + | 27 | -73.5 | 200.9 | 0.8    |       |       |        |     |       |
| 9.29  |    |     |     |     |   | -0.17  | 0.17    | 0.05    |              |       | -0.44 |       |     |   |      |      | 0.14 |      |   | +  | 27    | -73.7 | 201.5  | 1.3   |       |        |     |       |
| 11.79 |    |     |     |     |   | -0.24  | 0.25    | 0.10    | 0.07         | -0.13 |       |       |     |   |      | 0.09 |      |      | + | 28 | -72.8 | 201.5 | 1.4    |       |       |        |     |       |
| 12.07 |    |     |     |     |   | -0.25  | 0.23    | 0.09    | 0.07         |       |       |       |     |   |      |      | 0.13 |      |   | +  | 27    | -73.8 | 201.6  | 1.4   |       |        |     |       |
| 11.16 |    |     |     |     |   | -0.22  | 0.22    | 0.08    | 0.07         |       | -0.41 |       |     |   |      |      | 0.14 |      |   | +  | 28    | -72.8 | 201.6  | 1.5   |       |        |     |       |
| 9.75  |    |     |     |     |   | -0.18  | 0.16    | 0.05    |              |       |       | -0.62 |     |   |      |      | 0.13 |      |   | +  | 27    | -73.8 | 201.6  | 1.5   |       |        |     |       |
| 8.36  |    |     |     |     |   | -0.14  | 0.15    |         |              | -0.19 |       |       |     |   |      |      | 0.15 |      |   | +  | 26    | -74.8 | 201.7  | 1.5   |       |        |     |       |
| 8.43  |    |     |     |     |   | -0.15  | 0.17    |         |              | -0.13 |       |       |     |   |      | 0.09 |      |      | + | 26 | -74.8 | 201.7 | 1.6    |       |       |        |     |       |
| 9.22  |    |     |     |     |   | -0.17  | 0.17    | 0.05    |              | -0.34 |       |       |     |   |      |      | 0.14 |      |   | +  | 27    | -73.9 | 201.7  | 1.6   |       |        |     |       |
| 10.12 |    |     |     |     |   | -0.19  | 0.18    | 0.05    |              |       |       |       |     |   |      |      | 0.12 |      |   | +  | 26    | -74.9 | 201.8  | 1.6   |       |        |     |       |
| 9.78  |    |     |     |     |   | -0.18  | 0.19    | 0.06    |              | -0.15 |       |       |     |   |      | 0.09 |      |      | + | 27 | -73.9 | 201.8 | 1.6    |       |       |        |     |       |
| 9.27  |    |     |     |     |   | -0.17  | 0.18    |         | 0.03         |       |       |       |     |   |      | 0.09 |      |      | + | 26 | -74.9 | 201.8 | 1.7    |       |       |        |     |       |
| 11.11 |    |     |     |     |   | -0.22  | 0.22    | 0.08    | 0.07         | -0.32 |       |       |     |   |      |      | 0.15 |      |   | +  | 28    | -72.9 | 201.8  | 1.7   |       |        |     |       |
| 11.56 |    |     |     |     |   | -0.23  | 0.22    | 0.08    | 0.07         |       |       | -0.56 |     |   |      |      | 0.14 |      |   | +  | 28    | -72.9 | 201.8  | 1.7   |       |        |     |       |
| 8.68  |    |     |     |     |   | -0.15  | 0.16    |         | 0.03         |       | -0.44 |       |     |   |      |      | 0.16 |      |   | +  | 27    | -74.0 | 201.9  | 1.8   |       |        |     |       |
| 12.24 |    |     |     |     |   | -0.25  | 0.25    | 0.10    | 0.08         |       |       |       |     |   | 0.18 |      | 0.08 |      |   | +  | 28    | -73.0 | 202.1  | 1.9   |       |        |     |       |
| 9.51  |    |     |     |     |   | -0.18  | 0.18    |         | 0.03         |       |       |       |     |   |      |      | 0.14 |      |   | +  | 26    | -75.1 | 202.1  | 2.0   |       |        |     |       |

表2. 標準化CPUEおよびノミナルCPUE CPUEの値は、解析期間の平均値で規格化した値。

| Year | ノミナルCPUE<br>(規格化) | 標準化CPUE<br>(規格化) | CI_下限 | CI_上限 | CV   |
|------|-------------------|------------------|-------|-------|------|
| 2002 | 0.74              | 0.90             | 0.77  | 1.04  | 0.08 |
| 2003 | 0.78              | 0.90             | 0.75  | 1.07  | 0.09 |
| 2004 | 0.75              | 0.86             | 0.72  | 1.01  | 0.09 |
| 2005 | 1.24              | 1.02             | 0.74  | 1.45  | 0.18 |
| 2006 | 0.83              | 0.93             | 0.76  | 1.22  | 0.14 |
| 2007 | 0.82              | 0.76             | 0.63  | 0.91  | 0.09 |
| 2008 | 0.64              | 0.64             | 0.53  | 0.76  | 0.09 |
| 2009 | 0.64              | 0.64             | 0.51  | 0.77  | 0.10 |
| 2010 | 0.66              | 0.75             | 0.60  | 0.94  | 0.11 |
| 2011 | 0.71              | 0.82             | 0.69  | 0.98  | 0.09 |
| 2012 | 0.89              | 0.95             | 0.77  | 1.11  | 0.09 |
| 2013 | 0.90              | 0.85             | 0.67  | 1.03  | 0.11 |
| 2014 | 1.08              | 1.18             | 1.00  | 1.38  | 0.08 |
| 2015 | 0.87              | 0.82             | 0.63  | 1.02  | 0.12 |
| 2016 | 0.93              | 0.91             | 0.77  | 1.05  | 0.08 |
| 2017 | 1.02              | 0.91             | 0.72  | 1.12  | 0.11 |
| 2018 | 1.16              | 1.06             | 0.79  | 1.34  | 0.14 |
| 2019 | 1.40              | 1.49             | 1.25  | 1.71  | 0.08 |
| 2020 | 1.52              | 1.45             | 1.24  | 1.70  | 0.08 |
| 2021 | 1.65              | 1.62             | 1.35  | 1.94  | 0.09 |
| 2022 | 1.76              | 1.57             | 1.15  | 2.04  | 0.14 |

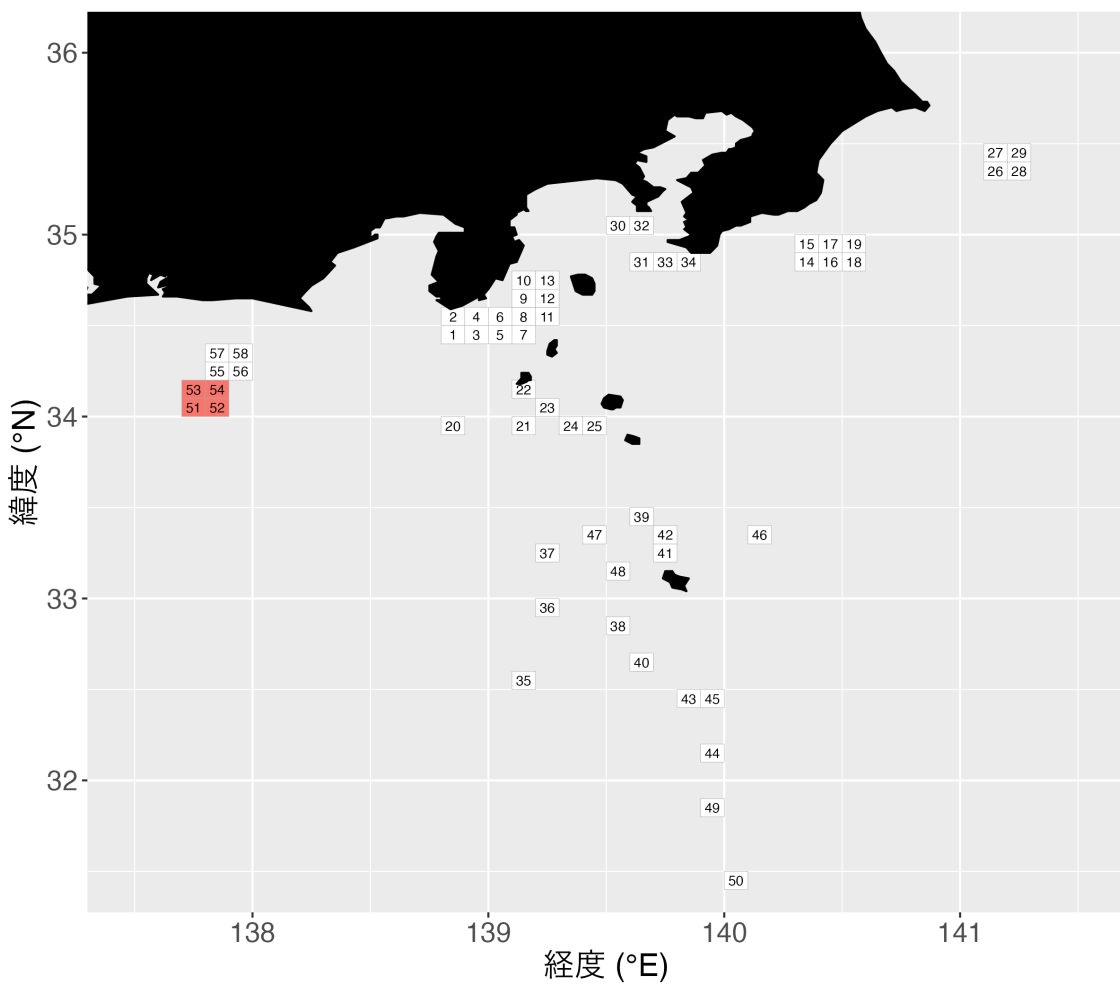


図 1. FRA-ROMS II再解析値の抽出を行う漁場位置の候補 緯度経度 0.1°グリッドごとに  
データを抽出。御前崎地区は 51～54 番のグリッドを使用。

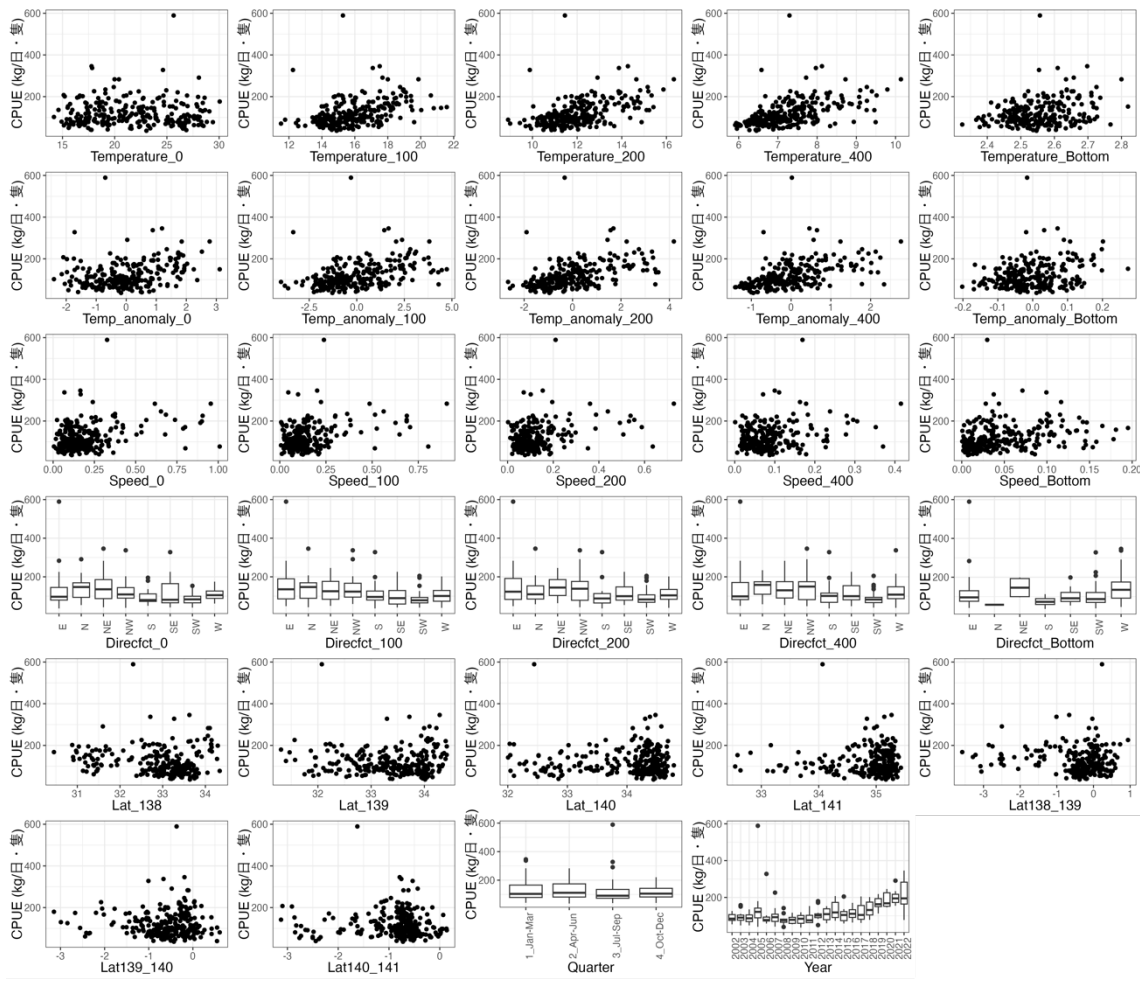


図2. 標準化モデルに導入した説明変数とノミナル CPUEとの関係

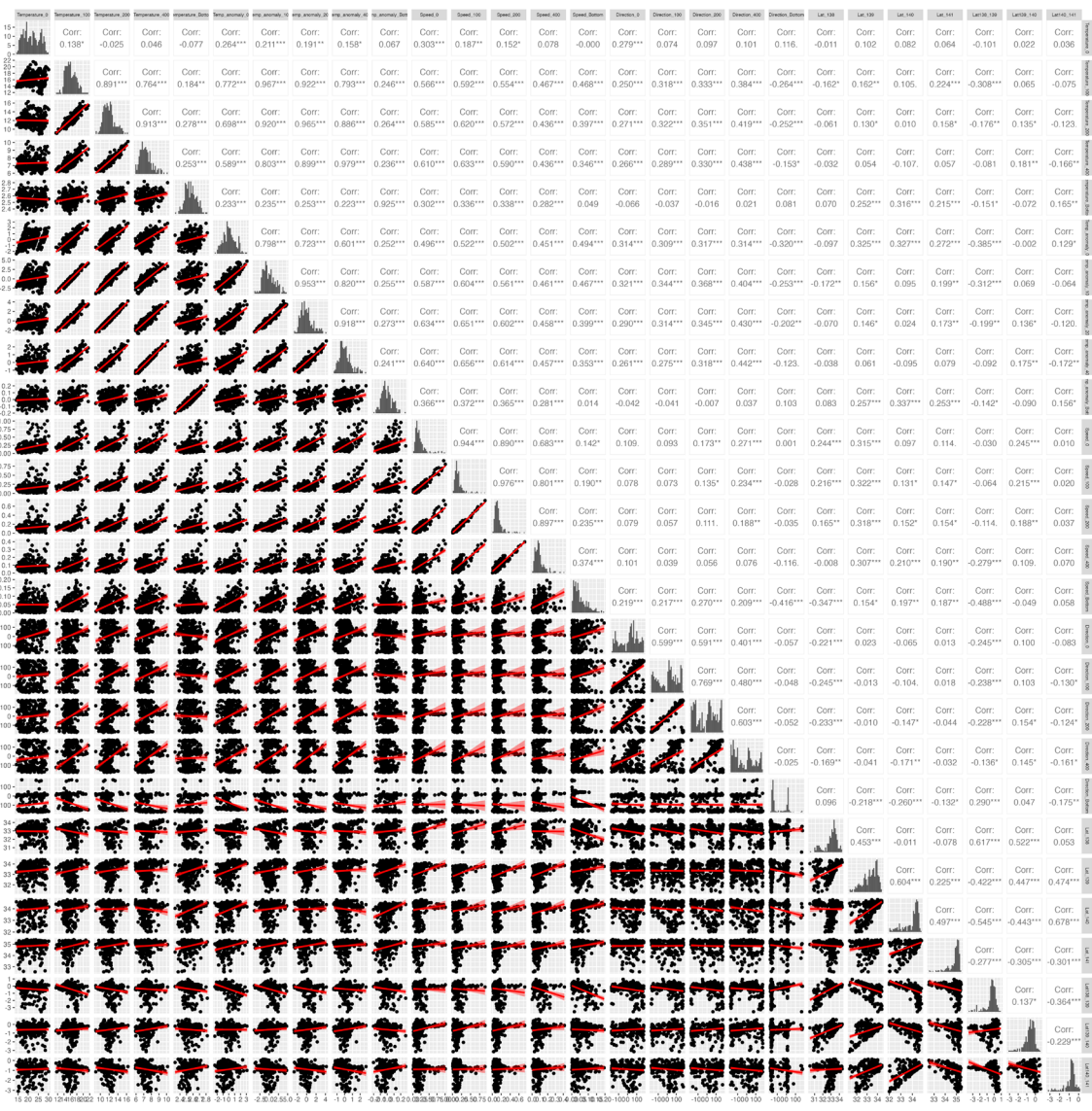


図3. 標準化モデルに使用した海洋環境データ間の相関関係

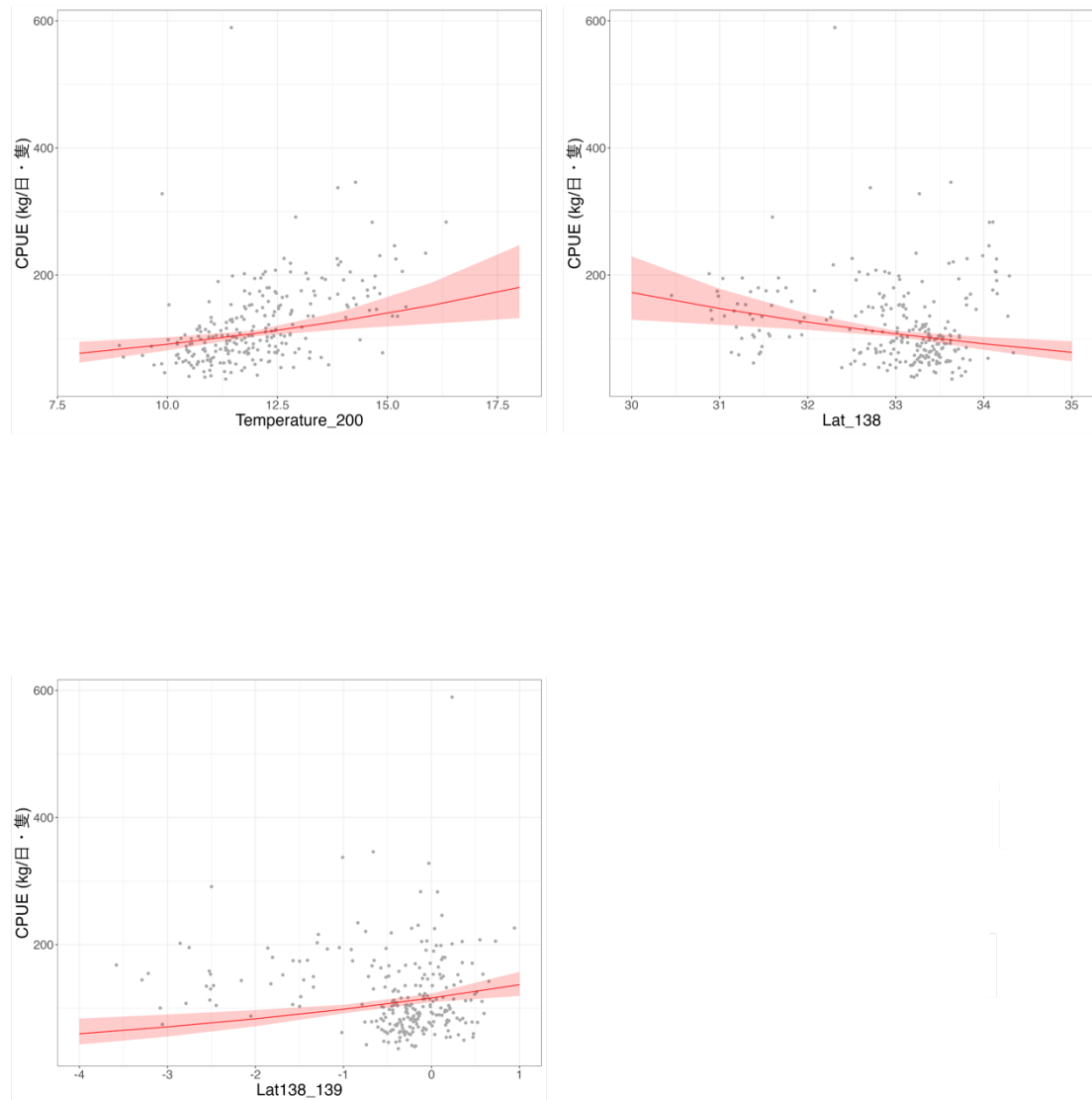


図 4. ベストモデルにおける各説明変数の部分効果 図中の赤帯と赤髭は 95%信頼区間を示す。

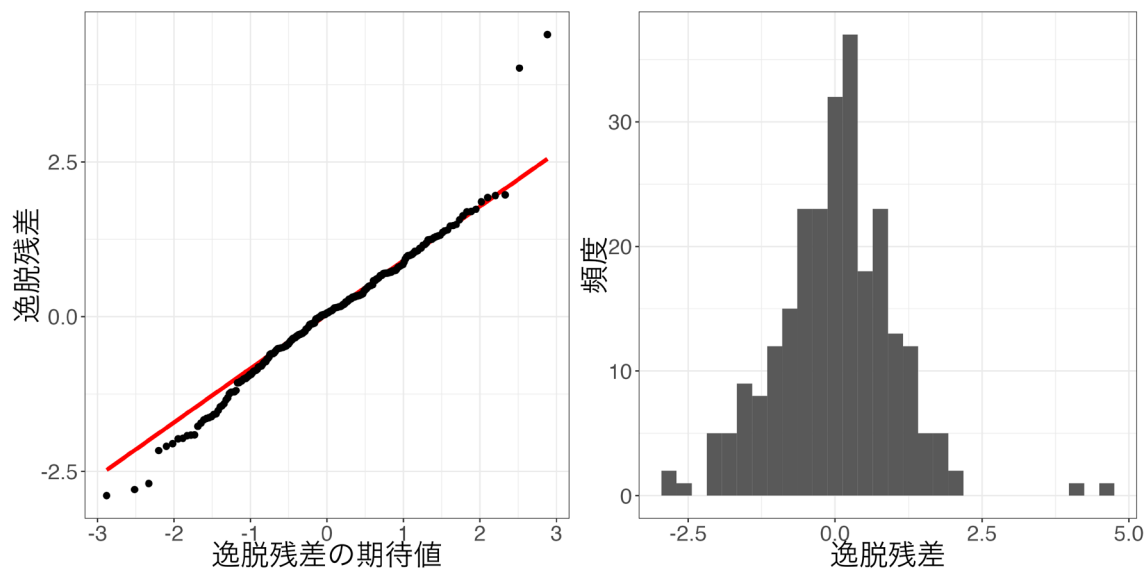


図 5. ベストモデルにおける QQ プロット（左）および残差の頻度分布（右）

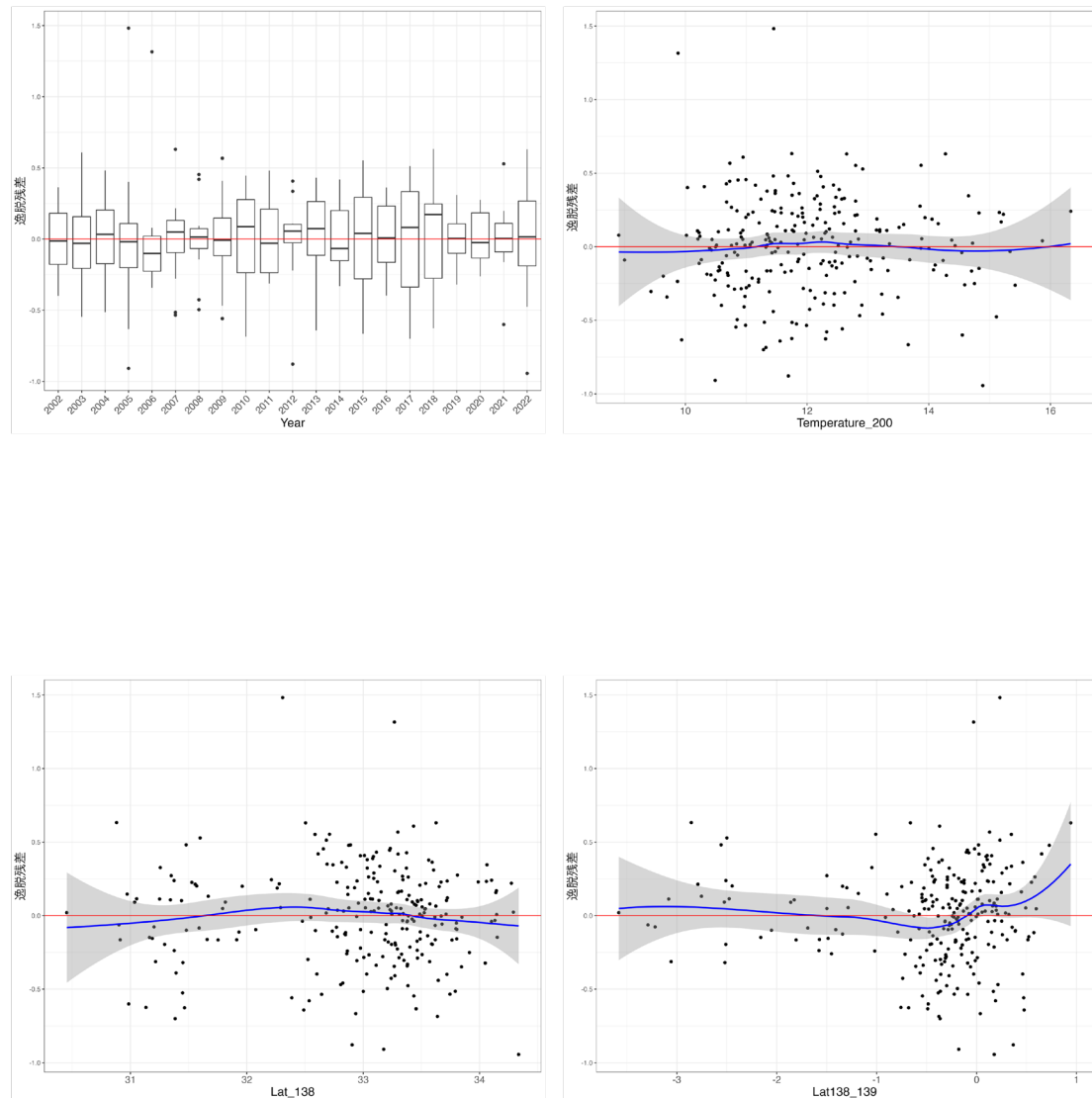


図 6. ベストモデルの層別逸脱残差 Temperature\_200、Lat\_138、Lat138\_139 に関する残差  
図の青線と灰帯は、残差にフィッティングさせた平滑化曲線 (loess) と、その 95%信  
頼区間を示す。

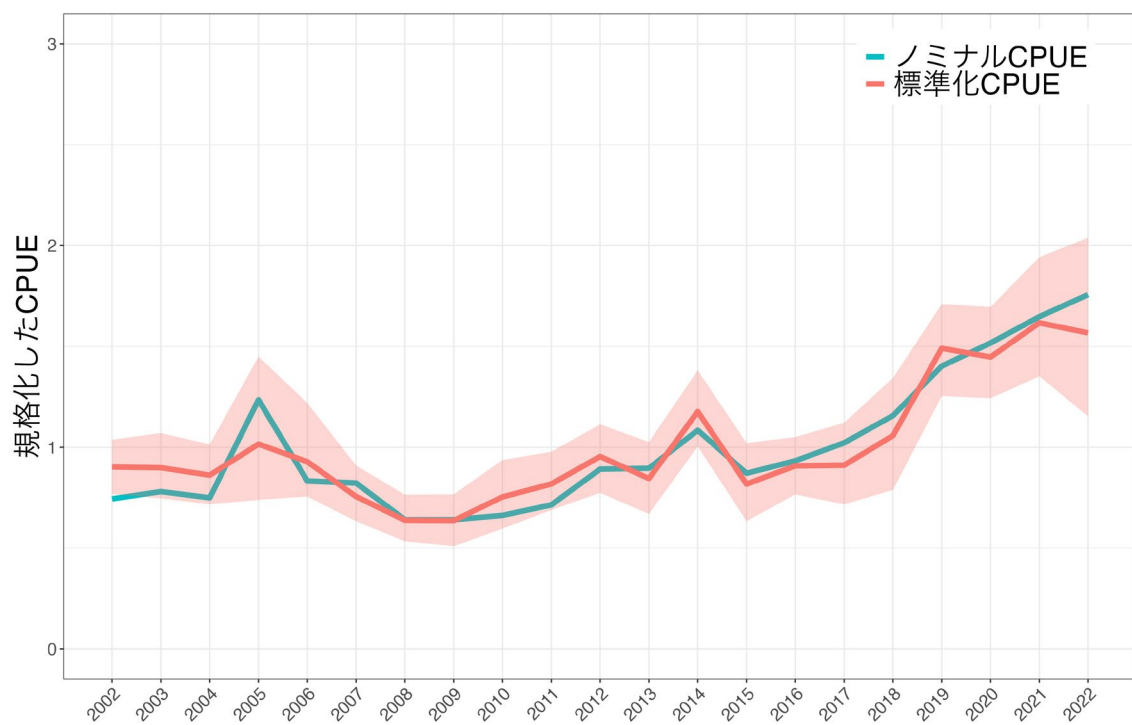


図7. 標準化CPUEおよびノミナルCPUEの推移 CPUEの値は、解析期間の平均値で規格化した値。赤帯は、データのブートストラップサンプリングとベストモデルによる年トレンド推定を1,000回繰り返して求めた95%信頼区間を示す。

ベストモデルの推定パラメタの要約

`glm(formula = log(CPUE) ~ Lat_138 + Lat138_139 + Temperature_200 + Year + 1, family = gaussian, data = dat3)`

|                 | Estimate | Standard Error | z value | Pr(> z ) |     |
|-----------------|----------|----------------|---------|----------|-----|
| (Intercept)     | 8.855    | 1.717          | 5.158   | 0.0000   | *** |
| Lat_138         | -0.158   | 0.049          | -3.252  | 0.0013   | **  |
| Lat138_139      | 0.166    | 0.047          | 3.518   | 0.0005   | *** |
| Temperature_200 | 0.086    | 0.026          | 3.246   | 0.0013   | **  |
| Year2003        | -0.004   | 0.140          | -0.028  | 0.9779   |     |
| Year2004        | -0.046   | 0.146          | -0.315  | 0.7533   |     |
| Year2005        | 0.118    | 0.151          | 0.786   | 0.4329   |     |
| Year2006        | 0.028    | 0.144          | 0.195   | 0.8455   |     |
| Year2007        | -0.177   | 0.146          | -1.215  | 0.2256   |     |
| Year2008        | -0.346   | 0.145          | -2.382  | 0.0181   | *   |
| Year2009        | -0.349   | 0.147          | -2.369  | 0.0187   | *   |
| Year2010        | -0.180   | 0.141          | -1.278  | 0.2025   |     |
| Year2011        | -0.098   | 0.141          | -0.695  | 0.4876   |     |
| Year2012        | 0.056    | 0.142          | 0.393   | 0.6947   |     |
| Year2013        | -0.066   | 0.147          | -0.446  | 0.6559   |     |
| Year2014        | 0.266    | 0.143          | 1.860   | 0.0642   | .   |
| Year2015        | -0.099   | 0.147          | -0.670  | 0.5036   |     |
| Year2016        | 0.006    | 0.146          | 0.042   | 0.9664   |     |
| Year2017        | 0.010    | 0.152          | 0.064   | 0.9493   |     |
| Year2018        | 0.159    | 0.166          | 0.955   | 0.3407   |     |
| Year2019        | 0.502    | 0.161          | 3.119   | 0.0020   | **  |
| Year2020        | 0.472    | 0.163          | 2.907   | 0.0040   | **  |
| Year2021        | 0.583    | 0.161          | 3.623   | 0.0004   | *** |
| Year2022        | 0.552    | 0.166          | 3.324   | 0.0010   | **  |

Signif. codes: 0 <= '\*\*\*' < 0.001 < '\*\*' < 0.01 < '\*' < 0.05

| Estimate | Standard Error | z value | Pr(> z ) |
|----------|----------------|---------|----------|
|----------|----------------|---------|----------|

(Dispersion parameter for gaussian family taken to be 0.1174619)

Null deviance: 53.6 on 251 degrees of freedom

Residual deviance: 26.78 on 228 degrees of freedom

AIC: 200.23

補足表. 説明変数名と略記の対応表

|                      | 変数名             | 変数略記               |
|----------------------|-----------------|--------------------|
|                      | 年               | Year               |
|                      | 季節              | Quarter            |
| 水温                   | 0 m             | Temperature_0      |
|                      | 100 m           | Temperature_100    |
|                      | 200 m           | Temperature_200    |
|                      | 400 m           | Temperature_400    |
|                      | 底層              | Temperature_Bottom |
| 流速                   | 0 m             | Speed_0            |
|                      | 100 m           | Speed_100          |
|                      | 200 m           | Speed_200          |
|                      | 400 m           | Speed_400          |
|                      | 底層              | Speed_Bottom       |
| 流向<br>(連続)           | 0 m             | Direction_0        |
|                      | 100 m           | Direction_100      |
|                      | 200 m           | Direction_200      |
|                      | 400 m           | Direction_400      |
|                      | 底層              | Direction_Bottom   |
| 流向<br>(カテゴリー)        | 0 m             | Direcfct_0         |
|                      | 100 m           | Direcfct_100       |
|                      | 200 m           | Direcfct_200       |
|                      | 400 m           | Direcfct_400       |
|                      | 底層              | Direcfct_Bottom    |
| 地先の<br>黒潮北縁緯度        | 東経138度          | Lat_138            |
|                      | 東経139度          | Lat_139            |
|                      | 東経140度          | Lat_140            |
|                      | 東経141度          | Lat_141            |
| 経度間の<br>黒潮北縁の<br>緯度差 | 東経138度 - 東経139度 | Lat138_139         |
|                      | 東経139度 - 東経140度 | Lat139_140         |
|                      | 東経140度 - 東経141度 | Lat140_141         |